

〈總論〉

무전해 니켈도금에 대하여 (II)

池泰求* 呂運寬**

Electroless Nickel Plating

T. K. Chee and W. K. Yeo

ABSTRACT

Electroless Ni-plating is often utilized in industries due to its physical and mechanical characteristics in contrast to conventional electroplatings.

Thus, electroless Ni-plating will be broadly applied in many fields. However, The physical and mechanical properties of this deposits depend largely on the structure and P content of film and heat treatment. And here discussed about the important results of those past research.

1. 서 론

무전해 니켈도금막의 물리적 및 기계적 성질은 도금층의 구조, 도금층의 P함량 및 열처리에 따라 크게 달라진다. 도금층의 P 함량은 前 頁에서 언급한 바와 같이 도금공정 즉, 용액의 종류pH, 및 첨가제의 영향을 많이 받는다. 그리고 도금층의 도금한 상태에서의 구조 및 열처리에 의한 상변화는 P 함량에 따라 다르며 그에 대한 많은 연구가 있었으나 서로 견해가 일치하지 않은 것이 많다. 따라서 이를 연구에 대한 중요한 결과에 대한 고찰과 몇 가지 중요한 기계적 성질의 중요한 결과에 대해 검토하였다.

2. 無電解니켈鍍金被膜의 構造

2-1. 次亜磷酸塩을 사용한 鍍金被膜

차아인산염을 환원제로 사용한 무전해 니켈도금은 pH 및 환원제의 농도에 의해 P의 함량을 3~15% 범위로 조절할 수가 있다. 일반적으로 산성용액에서 얻어진 도금층이 암모니아 알칼리성 용액에서 얻어진 도금층보다 더 치밀하고 광택도

양호하며 P함량이 약 10% 정도로^{1,2)} 비교적 많으며 이것은 pH가 높아짐에 따라 더 크게 변화한다. 암모니아 알칼리성 용액에서 얻어진 도금층은 P 함량이 약 5% 정도로 낮으며 도금 피막은 의관상 산성용액에서 얻어진 것 보다 좋지 않다.³⁾

鍍金被膜의構造는 電子回折, X線回折, 電子顯微鏡 등에 의하여 측정되는데 A. W. Goldenstein⁴⁾은 산성도금 용액으로부터 얻은 피막을 X 선회절로 관찰한 결과 非晶質이라고 보고 하였으며 V. P. Moiseev⁵⁾는 HCP(조밀육방격자), 그리고 A. H. Graham⁶⁾은 산성용액에 암모니아 알칼리성 용액에서 P의 함량이 다른 피막에 대해 전자 현미경으로 조사한 결과 모두 FCC의 微晶質이라고 보고 하였다. 補井, 田辺⁷⁾ 등은 도금 상태의 니켈피막은 중상 구조를 가지며 P 함량이 약 4%정도로 낮은 경우에는 니켈피막 생성중에 P가 치환형으로 고용하여 니켈의 면심입방 구조로 되며 P 함량이 약 7.4%로 많아짐에 따라 니켈피막은 상당히 많은 결정결합의 집합체 즉, 비정질 상태로 된다고 보고 하였다. Fig. 1은 도금층의 P 함량이 7.4% 일때 도금 상태에서 전자회절상을 나타낸 것이며 Fig. 2는 P 함량이 4%일때의 전자회절상이다.

* 弘益工學専門大學 金屬科 專任講師

** 弘益工學専門大學 金屬科 教授

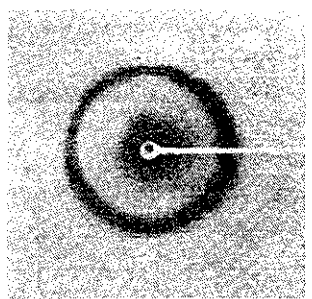


Fig. 1. Transmission electro diffraction pattern of Ni deposit state (7.4 wt% P)

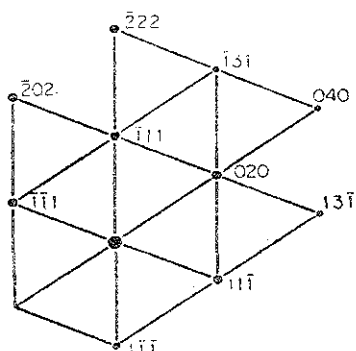
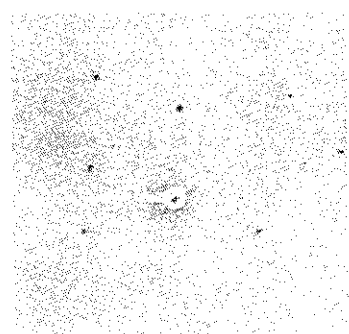


Fig. 2. Transmission Electro diffraction pattern of Ni deposit state (4% P)

Fig. 1 · 2에서 와같이 P 함량이 4 %정도에서

는 회절상이 반점으로 나타나 Ni의 결정으로 되어 있음을 나타내고 있으며 P 함량이 7.4%로 많아짐으로 회절상은 diffuse 한 형으로 되어 비정진임을 나타내고 있다.

한편 J. P. Randin^{⑨ ⑩}은 도금 피막중의 P는 니체중에 고용한 일종의 파로화 고용체로 되어 Ni_xP 형으로 화합물을 형성하고 있다고 하였으며 仇^⑪^⑫은 차아 인산염에서 환원한 微粉末이 비정질의 니켈상과 Ni_xP ($x=1.8\sim 2.2$)로 된 인화 니켈상파의 혼합체로 되어 있다고 보고하고 있다. 그리고 青木^⑬은 인화합물의 존재를 전자현미경으로 전자회절에 의해 검토한 결과 도금상태에서 P는 P의 함량이 많은 경우에는 니켈상중에 P가 고용하는 양이 적고 니켈과 화합물을 만들기 쉽기 때문에 대부분 Ni_xP 형으로 존재한다고 보고하였다. 이와 같이 도금 피막중의 P의 상태에 대해서는 니켈중에 파로화되어 있다는 설과 니켈상파 Ni-P 화합물이 공존하고 있다는 설이 있으나 정확한 결론은 앞으로 더 연구되어야 할 것이다.

무전해 니켈도금에 있어서 흥미있는 특징 중의 하나는 염처리에 의해 도금층의 경도가 증가한다는 것이다. 즉 이것은 가열에 의해 상의 변화가 일어난다고 할 수 있다. Ziehlke^⑭에 의하면 가열에 의해 우선 도금층의 층상 구조가 Ni₃P와 같은 석출물에 의해 displace 되고 온도가 상승함에 따라 도금층은 서로 응집을 한다. 이러한 석출물은 600°C에서 응집되고 750°C 이상에서는 용해성 입자가 나타난다고 보고하였다. 이것은 潘井, 仇^⑮ 등의 보고에서도 Fig. 3과 같은 결과를 나타내고 있다.

Fig. 3. a는 도금한 상태의 도금피막 구조로 Ni 피막은 새로운 용액의 침가로 육조성이 급변함에 따른 층상구조로 되어 있음을 알 수 있다. b는 300°C에서 1시간 가열한 것으로 a와 큰 차이는 없으나 곳곳에서 석출이 일어나는 것을 볼 수 있다. c는 500°C에서 1시간 가열한 것으로 층상구조는 거의 없어지고 석출물의 성장이 일어나고 있으며 d는 700°C에서 1시간 가열한 것으로 석출물이 성장 응집하고 있는 것을 알 수 있다. Fig. 4^⑯는 각각의 온도에서 가열한 Ni피막의 구조를 X선 회절곡선으로 나타낸 것으로 여기서 보면 Ni₃P 화합물이 석출을 일으키고 있는 것이 명백히 나타나 있다.

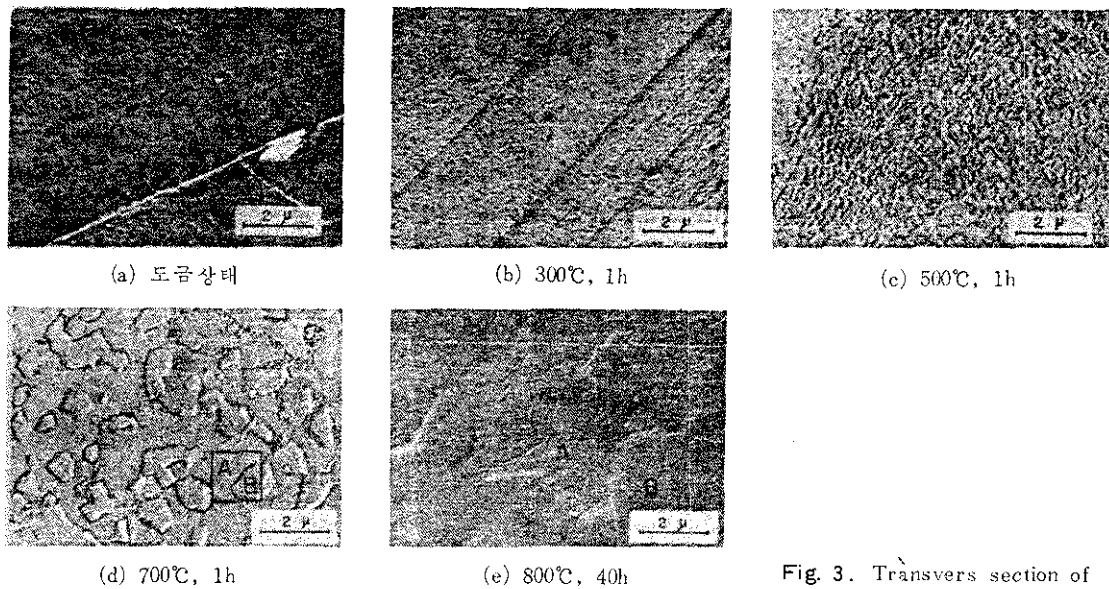


Fig. 3. Transvers section of deposit layer by refraction

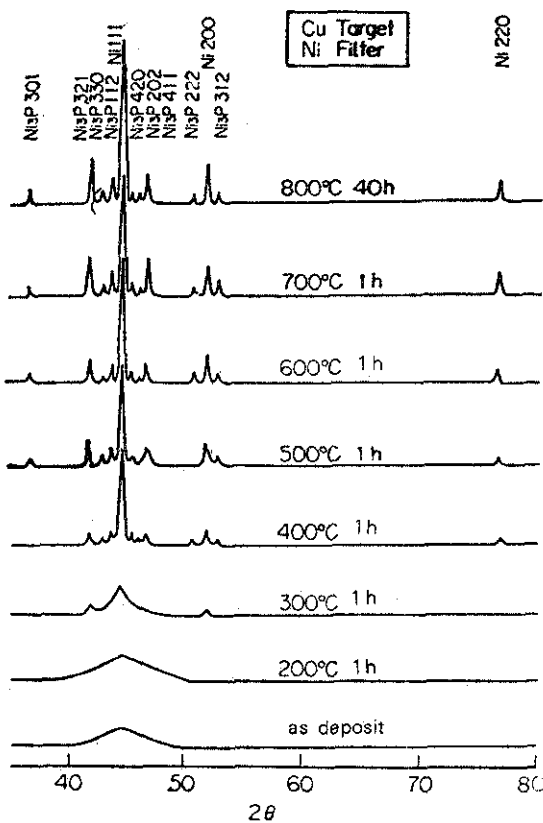


Fig. 4. X-Ray diffraction pattern of Ni deposit for various heating temperature.

또 도금 피막의 열적변화를¹³⁾ 검토한 바에 의하면 Fig. 5와 같이 270°C 부근에서 급격히 발열을 시작하여 315°C 부근에서 peak를 갖으며 변화한다. 가열중에 나타나는 이러한 발열 현상은 니켈과 P의 합성에 의한 Ni-P화합물의 생성열이라 예상되며 이것은 Fig. 6¹³⁾의 X-선 회절곡선과 잘 일치되고 있다. Fig. 6은 무전해 니켈분말의 X선회절곡선으로 a는 니켈의 (111)을 peak로 하는 분선풍한 회절상을 나타내고 있다. 이것은 潘井⁷⁾의 설명과 같이 결정내부 결합이 많아 micro한 내부 응력에 의한 것이라 생각된다. b는 Ni-P화합물이 생성되고 있는 것을 알 수 있으며 이때 Ni-P화합물은 채심입방정의^{5, 13)} Ni₃P 형이라고 보고하였다. c는 이화합물의 성장이 상당히 진행되고 있음을 나타내고 있다.

한편 J. P. Randin^{8,9)} 作出¹⁰⁾ 등도 도금한 상태에서 P가 Ni₂P형으로 존재하던 것이 가열에 의해 Ni₂P + Ni → Ni₃P 반응을 일으켜 Ni₃P로 변화된다고 보고 하였으며 青木¹¹⁾은 Ni₃P₃가 가열에 의해 Ni₃P로 변화된다고 보고하였다. 이와 같은 결과로 볼 때 무전해 니켈 도금층은 가열 하게 되면 P가 Ni₃P 화합물로 존재하게 되며 이것이 경화의 원인이 되는 것이라 할 수 있다.

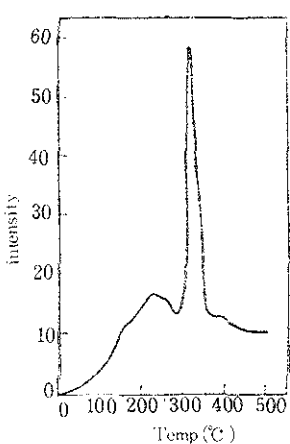


Fig. 5. DTA of Ni deposit powder

2-2. 수소화붕소 화합물을 사용한 도금피막

수소화 붕소나트륨을 환원제로한 무전해 니켈 도금은 도금 피막중에 수%의 붕소를 함유하고 있다. 그리고 도금한 상태에서 도금 피막은 거의 비정질 형으로 되어 있는 것으로 알려졌다. 田辺, 液辺^{14) 15)} 등에 의하면 알루미늄의 접촉이나 3 V의 순간 동전 inoculation으로 석출시킨 도금층은 초기에 150Å 이하의 粘状晶이 석출하여 이것이 300~1,300Å 정도의 대일정의 粒状晶으로 성장한다고 하며 또 일상정과는 관계없이 星雲状晶이 석출하여 시간이 경과함에 따라 鈍状晶으로 성장한다고 보고하였다.

Fig. 7은 도금 피막의 전자현미경 조직과 星雲状晶의 전자회절상을 나타낸 것이다. 전자회절

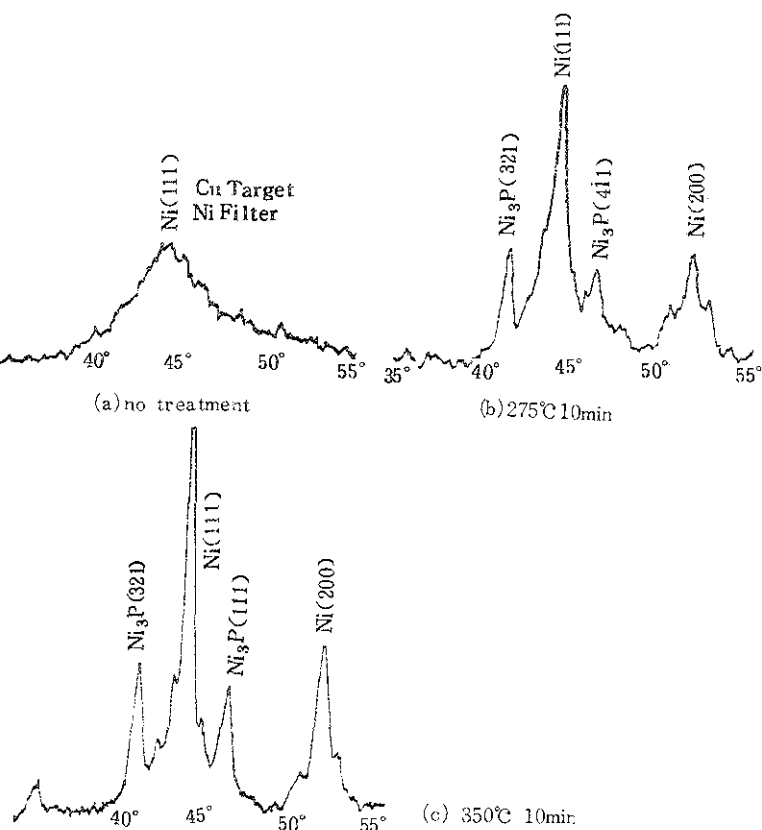


Fig. 6. Difference of X-Ray diffraction pattern of Ni deposit powder by heat treatment. (8.5% P.)

상에서 부분적으로 spotty한 부분을 나타내고 있는데 이것은 어느 정도 결정성을 갖는 것이라 할 수 있다. 그리고 N. Hedgecock^[6]에 의하면 플라스틱과 같은 비전도체에 대한 도금층은 비정질 혹은 근본적으로 장법위 규칙격자와 다른 미세 결정 질로 되며 improved sensitizer($\text{SnCl}_2/\text{HCl} + \text{aged SnCl}_4$)를 이용하여 얇은 도금층의 diffraction pattern은 sharp한 ring을 나타내고 있다. 이것은 어느 정도 FCC 구조를 갖는다고 보고하였다.



Fig. 7. Initial structure of Ni deposit by TEM

Ni-B 피막을 가열할 때의 상변화는 Fig. 8 과^[7] 같다. 여기서 보면 Ni-B 화합물의 생성이 명확히 나타나고 있으며 이 화합물은 Fig. 9에서 알 수 있듯이 Ni₃B 형상을 알 수 있다. 또한 이 피막은 Fig. 10에서와 같이 가열하게 되면 280°C 부근에서 급격한 발열 반응을 수반한다. 이 피막의 열적 변화(Fig. 10)과 X선회절 상을 비교해 보면 니켈화합물이 나타나는 온도와 급격한 발열 반응을 하는 온도가 일치함을 알 수 있으며 Ni₃B의 생성에 의한 발열이라 생각할 수 있다.

2-3. 히드라진을 사용한 도금 피막

환원제로 히드라진을 사용한 무전해 니켈 도금은 차아 인산나트륨 및 수소화 풍소나트륨을 사용한 도금 피막에 비해 순도가 좋고 불순물도 2% 정도의 질소를 함유하고 있어 다른 니켈 피막보다 우수한 磁氣의 성질을 가지고 있다. 이 피막의 자성은 피막 두께에 관계되어 10,000Å 정도 두께에서 保磁力 14~22Oe 정도이다. 피막의 性狀은 無光沢 暗灰色이고 경도는 Hv 400 정도이며

300°C 부근까지 열처리에 의해서도 경도는 거의 변화되지 않으며 400°C를 넘으면 경도는 급격히 저하된다. 입장용력은 차아 인산염을 사용한 경우의 1,600psi에 비해 약 20배 정도 높아 30,000 psi 정도이며 내식성은 좋지 못하다.

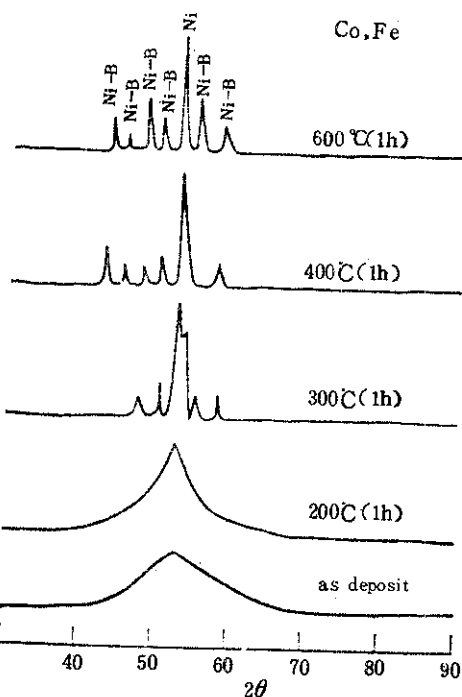


Fig. 8. Structure change by heat treatment

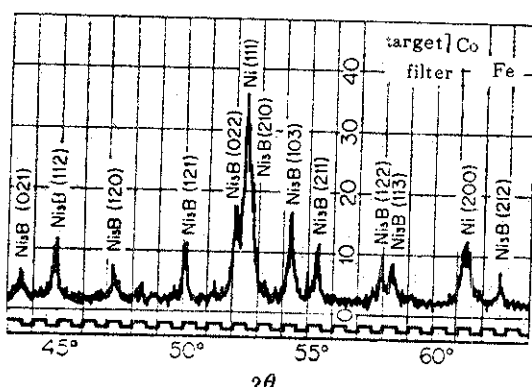


Fig. 9. X-ray diffraction pattern of Ni-B deposit powder after sintering

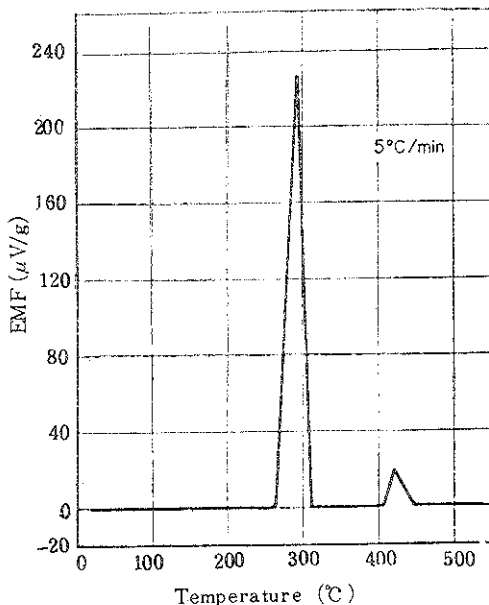


Fig. 10. DTA of electroless Ni, B deposit

3. 鎌金皮膜의 기계적 성질 (Mechanical Properties of deposits)

3-1. 경도 (Hardness)

무전해 니켈 도금피막은 니켈중에 P나 B를 함

유하고 있어 열처리에 의해 상당히 높은 경도를 얻을 수 있다. 도금 피막의 열처리에 따른 경도의 변화에 대해서 많은 연구^{4, 12, 13, 18)}가 되어 왔으며 이를 결과를 종합해 보면 일반적으로 Fig. 11과 같이 나타낼 수 있다. 피막의 경도는 400°C에서 가열할 때 가장 높은 경도는 Hv 1,000 이상으로 되며 그 이상 온도에서는 온도가 증가함에 따라 감소한다. 이것은 Fig. 4, Fig. 5 및 Fig. 6에서 볼때 Ni₃P 와 합물이 300°C에서 생성되기 시작하여 400°C에서 완전히 Ni₃P가 석출하여 이 온도에서 최대 경도값을 가지며 그 이상의 온도에서는 이 석출물이 서로 융집하여 경도가 감소하게 된다. 즉, 경화 원인에 있어서는 종래 여려가지 견해가 많았으나 위에 설명과 같이 무전해 니켈피막중에 P가 니켈과 혼재하여 열처리중에 P가 석출하여 이것이 경화에 기인하는 것이다.

경도는 도금층내의 P의 양, pH 등 여러가지 요인에 영향을 받기 때문에 단적으로 설명할 수는 없지만 K. T. Ziehlke¹²⁾ 등에 의하면 도금층의 P를 7.2%, 8.2%, 10.3%로 변화시킬 때 P의 양에 따라 경도는 별 영향이 없으나 그 아래로 P의 양이 감소함에 따라 감소한다고 보고하였다. 한편 고온 경도에 대한 연구^{18), 19), 20), 21), 22)}에 의하면, 도금층의 고온 경도는 미리 400°C에서 열처리한 쪽이 열처리 하지 않은 것보다 훨씬 높다. 그리고 열처리 한 것은 400°C 까지는 경질 Cr도금층 보다 경도가 높으나 그 이상 온도에서는 경질 Cr 도

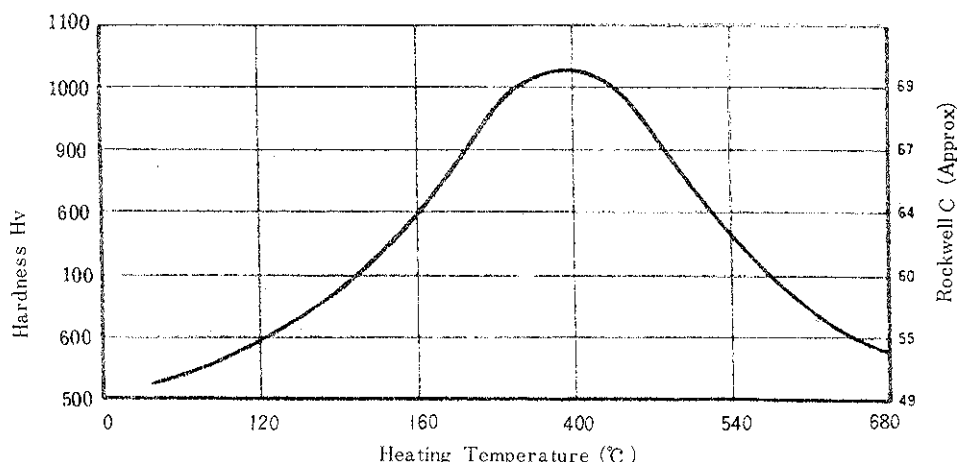


Fig. 11. Final vickers hardness number measured at room temperature hardness Hv

금속보다 낫다고 보고²¹⁾하였다.

수소화붕소 화합물을 사용한 도금 피막도 환원제로 차아인산염을 사용한 도금 피막과 마찬가지로 열처리에 의해 Fig. 12²¹⁾와 같이 경도는 400°C에서 Hv 1,000 이상으로 되며 그 이상의 온도에서는 감소한다. 이것은 Fig. 8 및 Fig. 9에서 알 수 있듯이 Ni₃B의 석출물에 의해 경도는 400°C에서 peak를 갖으며 그 이상의 온도에서는 감소한다. 이 경우의 경화도 Ni₃B의 석출에 의한 것이라 생각된다.

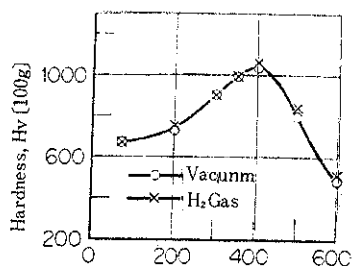


Fig. 12. Hardness of Ni₃B deposit at various heating temperature

한편 열처리 온도는 소재의 재질에 따라 선택해야 한다. 즉, Al이나 Mg같은 재질은 200°C정도에서 열처리 하는 것이 좋다. 따라서 도금층의 경도는 시간과 온도에 의해 변화 되므로 재질에 따라 열처리 온도와 시간의 선택이 중요하다. Fig. 13²³⁾은 그 관계를 나타낸 것이다.

3-2. 인장강도 (Tensile strength)

무전해 니켈도금은 비교적 취성이 키서鋼의도 금층에 규열이 발생하지 않을 정도의 하중하에서는 전체 변형량이 약 2.2%²⁴⁾에 불과하며 인장강도는 45kg/mm²정도이다. 그러나 700°C 이상에서 열처리 함으로서 이 변형량은 상당히 증가 하는 것으로 보고되고 있다.^{21) 22) 25) 26) 27)} A. H. Graham⁶⁾ 등에 의하면 도금층의 P함량이 6%일 때 400°C에서 열처리 함으로서 인장강도는 감소하여 P 함량이 8~9% 일 때는 단지 7kg/mm²정도밖에 되지 않으며 그리고 도금층의 P함량이 5~6%일 때는 750°C에서 열처리 함으로서 인장강도는 71~79kg/mm²으로 증가하나 P 함량이 8% 일 때는 31kg/mm²으로 감소한다고 보고하였다. 한편 ductility는 400~600°C 범위에서 열처리 함으로서 감소되나 P 함량이 5~6% 일 때는 750°C 이상에서 열처리 할 때는 증가하고 P 함량이 8~9% 일

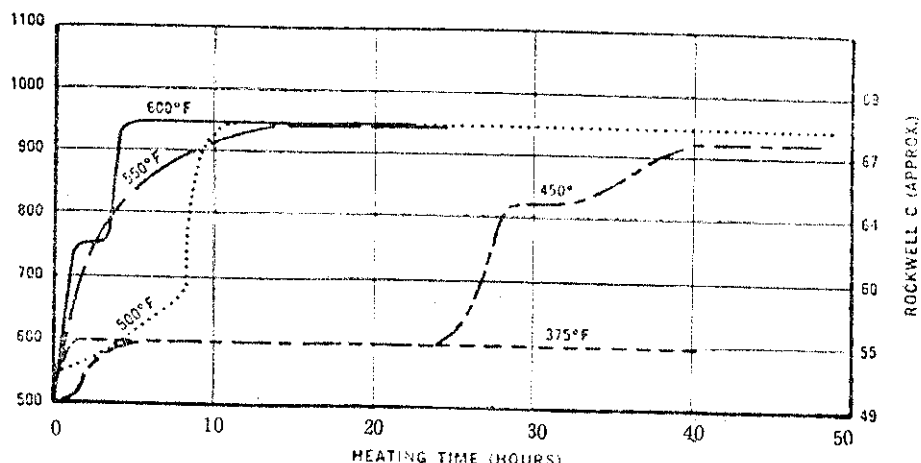


Fig. 13. Final vickers hardness number measured at room temperature

때는 감소한다고 보고하였다.

위와같은 결과를 Fig. 14²³에 나타내었다. 여기서 열처리온도 750°C를 기준으로 해서 도금층의 P함량에 따라 강도/인성의 변화관계는 조직의 변화에 기인되는 것이라 생각된다. 즉, P 함량이

5 ~ 6 %일때는 750°C에서 열처리에 의해 니켈내에 Ni₃P가 분산되는 반면 P 함량이 8 ~ 9 % 일 경우에는 Ni₃P내에 Ni가 분산되기 때문이라고 설명할 수 있다. Fig. 14에서 파괴변형량(strain of fracture)는 bulge test²⁸에 의해 구한것이다.

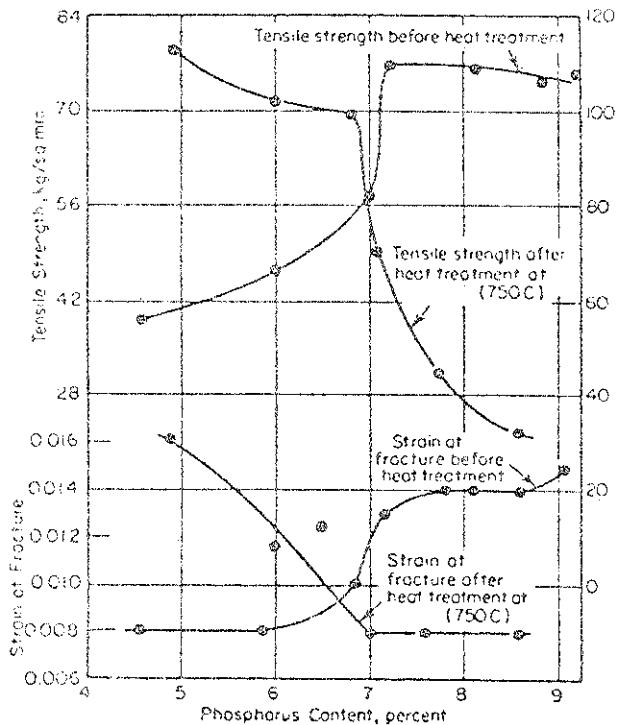


Fig. 14

Fig. 14. Change of tensile strength and strain of fracture of Ni₃P deposits

3-3. 내마모성(wear resistance)

무전해 니켈도금층은 열처리함에 따라 경도가 증가되므로 그에 따라 내마모성도 증가^{8) 25) 27) 29)} 된다는 것은 잘 알려진 사실이다. 내마모성에 영향을 미치는 요인은 상당히 많고 복잡하므로 실제로 사용조건에서 내마모성을 관찰하는 것이 타당하나고 하겠다.

그러나 실현적으로 무전해 니켈도금층은 전해 니켈도금층과 내마모성이 상당히 크며, 열처리에

의해 내마모성이 증가되어 경질크롬층과 같은 마모저수를 갖는다고 보고^{8) 25)}하고 있다. 무전해 니켈도금층은 열처리에 의해 마찰계수 변화가 상당히 적으며 650°C 이상에서 열처리 할 경우 내마모성은 경질 Cr도금층과 비슷^{6) 21) 25)}하다고 보고하고 있다. 최근에는 기계공구나 부품등에 分散鍍金을 하는 방법이 이용되고 있다.

分散鍍金은 전해도금액에 비전도성 금속산화물, 탄화물, 불화물등의 비세한 입자를 分散共析시킨

分散強化鍍金으로 내마모성이 크게 향상되는 것으로 알려졌다. G. Gromrilov^{30) 31) 32)} 등은 무전해 도금법으로 비교적 균일한 분산도금을 처음 성공하였으며 本間³³⁾은 각종 비금속微粒子를 사용하여 무전해 니켈도금을 한 결과 내마모성이 크게 향상된다고 보고하였다. Fig. 15는 그 결과를 나타낸 것이다.

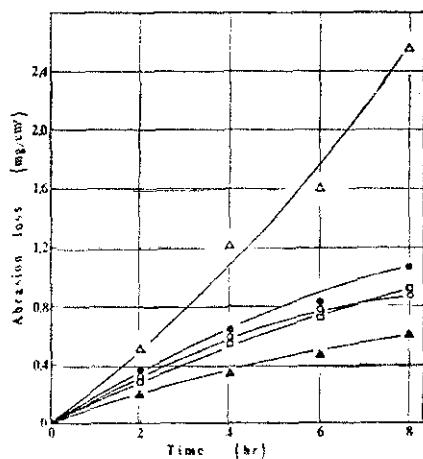


Fig. 15. Abrasion resistance of electroless deposited dispersion coatings.

▲ : SiC ● : TiO₂ □ : Al₂O₃
○ : CeO₃ △ : Ni-P

3-4. 잔유응력 residual stress)

도금층 내의 잔유응력 특성은 도금층의 여러 성질에 중요한 영향을 미치고 있다. 즉, 도금층에 인장응력이 자유하면 까지거나, 균열, 부풀음 등을 일으키기 쉬우며 고장력 강의 피로강도가 감소

하고 기공성이 증가되어 융력부식을 일으키기 쉽게 된다.

그리고 도금층에 압축응력이 전유하게되면 도금층의 부착력이 증가된다. 따라서 무전해 니켈도금층과 같이 비교적 인성이 낮은 도금층은 부착력과 도금층의 견전성을 개선하기 위해서는 약한 압축응력을 갖게하는 것이 좋을것이다. 그러나 도금층내의 전유응력 특성과 융력의 세기는 도금작업공정 도금층의 두께 및 조작 그리고 素地금속에 따라 크게 변화된다. Table 1은 도금층의 전유응력에 대한 data^{21) 25) 33) 34) 35) 36) 37)}를 나타낸 것이다.

황동, 알루미늄과 같은 열팽창계수가 높은 재료에 대한 무전해 니켈 도금층은 압축응력이 발생하는 경향이 있으며 반면 티타늄과 베릴륨과 같은 열팽창계수가 낮은 재료에 대한 도금층은 인장응력이 발생하는 경향이 있다.³⁸⁾ 그리고 열처리에 의해 티타늄과 베릴륨에 대한 도금층은 인장응력이 더 증가하고 알루미늄 황동에 대한 도금층은 압축응력이 더욱 증가한다고 보고하고 있다.

무전해 도금층의 P 함량은 전유응력에 큰 영향을 미친다. 즉, P의 함량이 증가함에 따라 인장응력은 감소하고 압축응력은 증가하는 경향이 있다.³⁹⁾ 그런데 도금층의 P 함량은 주로 PH에 기인되기 때문에 그에 따라 전유응력을 조절할 수 있을 것이다. Fig. 16³⁸⁾은 P 함량에 따른 몇몇 素地金属에 대한 도금층 내부응력을 나타낸 것이다.

한편 saccharin(4g/l)이나 organic-sulfur compound를 첨가하면 무전해 니켈도금층의 전유응력이 감소한다는 보고^{39) 40)}도 있으며 Parker, Shah³⁸⁾은 saccharin은 도금층의 인장응력을 압축응력으로 바꿔준다고 보고하였다.

Table 1. Internal Stress Date for Electroless Nickel
Stress

Phosphorus Content, percent	Before Heat Treatment		After Heat Treatment (190°C)		Solution Composition		Operating Conditions	
					NiSO ₄ , M	Mall ₂ PO ₄ , M	pH	Temperature, °C
	kg/sq mm	kg/mm ²	No. data	No. data	(b)	(b)	10.9	90
0.03	14.7		No. data	No. data	0.34 (b)	(b)	10.9	90
4.5	14.2		No. data	No. data	0.027	0.19	6.0	82
6.0	6.6		No. data	No. data	0.027	0.19	5.5	82
6.9	2.7		80	80	0.08 (d)	0.23	5.0	82
7.0	1.6		7.3	7.3	0.08 (d)	0.23	5.0	88
7.2	0.8		6.6	6.6	0.08 (d)	0.23	4.9	94

Table. 1 (continued)

8.0	3.8	No. data	0.27	0.19	5.0	82
8.1	1.9	6.9	0.08(d)	0.23	4.5	93
8.4	14.7	14.2	0.08(d)	0.23	4.5	93
9.0	-- 1.4	No. data	0.27	0.19	4.5	82
10.0	-- 5.3	No. data	0.27	0.19	4.0	82
10.7	-- 5.5	0.0	0.28(d) 08	0.23	4.0	97
11.6	-- 9.0	0.0	0.08(d)	0.32	4.0	94
12.2	-- 7.4	-- 0.8	0.08(d)	0.23	4.0	93
12.4	--10.8	-- 2.7	0.08(d)	0.23	4.0	91

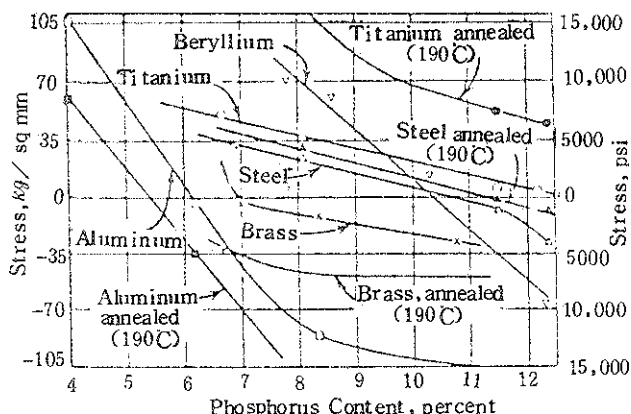


Fig. 16. Internal stress in electroless nickel as a function of phosphorus content on metals with a high expansion coefficient (aluminum and brass) or a low expansion coefficient (steel, beryllium, and titanium).

3-5. 내식성(corrosion resistance)

보통 전해 니켈도금층의 부식 저항에 의해 무전해 니켈 도금층도 부식된다. 그러나 같은 두께에 대해서 무전해 니켈 도금층은 전해니켈 도금층보다 부식 저항이 더 크다. 이것은 도금층의 두께가 전해도금층보다 단일하고 공공이나 기공 등 나쁜 결함이 작기 때문이다. 그리고 무전해 니켈도금층에 밀레 산을 첨가하면 pin hole 이 상당히 감소하여 내식성이 좋아진다는 보고⁴⁰도 있다. 암판리 용액에서 얻어진 무전해 니켈도금층은 산성 용액에서 얻어진 도금층보다 표면 상태가 약호 하시면서 부식 저항은 더 나쁜 것으로^{41,42} 알려졌다.

그리고 일반적으로 무전해 니켈도금층은 600°C 정도에서 열처리 함으로서 부식 저항이 상당히 증가되는 것으로 알려졌다.

가한다고 보고^{42,43}하고 있다. 이때 열처리는 공기 중이나 혹은 질소 가스 분위기에서 하는 것이 좋으며 수소 분위기에서는 미세균열을 일으켜 수소가 확산해 들어감으로서 부식 저항을 감소시킨다.

清水; 石橋⁴⁴ 등은 산성도금용액에서 pH 변화로 도금층의 P 함량을 변화시켜 1N 황산용액 중에서 용해 함량을 측정한 결과 무전해 니켈도금층의 내식성이 P 함량에 따라 다르며 일반적으로 P 함량이 증가함에 따라 내식성이 상당히 증가한다고 보고하였다. Fig. 17은 그 결과를 나타낸 것이다.

그리고 친소지에 무전해 니켈도금을 할 때 錫⁴⁵이나 구리⁴⁶ 등과 함께 동시에 석출시키면 부식 저항이 크게 증가되는 것으로 알려졌다.

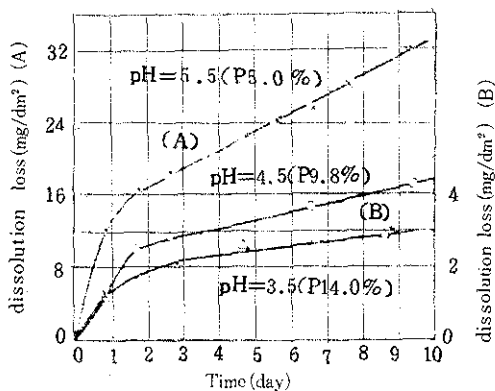


Fig. 17. Dissolution loss of electroless Ni deposit at 1N-H₂SO₄ solution

4. 결 언

도금한 상태의 무전해 니켈층은 생성과정에 있어서 도금용 조성의 급격한 변화 즉, 새로운 용액의 첨가로 Ni도금층은 층상구조로 된다. Ni도금층의 구조는 P 함량에 따라 변화된다. 그러나 구조는 P 함량에 따라 Ni중에 p가 파포화된 고용체 상태로 존재한다는 설과 니켈과 P화합물로 존재한다는 설이 있으나 앞으로 더 연구되어야 할 것으로 생각된다.

Ni도금층은 가열에 의해 P 원자의 확산으로 안정한 Ni₃P를 생성하여 경도를 증가시킨다. 경도는 400°C에서 1hr 가열함으로서 최대 Hv 1,000이상으로 되며 그 이상의 온도에서는 감소한다. 그리고 P 함량이 7% 이상에서는 경도에 영향을 미치지 않는다.

그밖의 기계적 성질은 피도금물의 종류 및 상태에 따라 크게 달라지므로 무전해 니켈 도금의 독특한 여러가지 기계적 성질들 중에 다른 새로에 비해 경제적으로 이용할 수 있는 성질들을 선택하여 사용해야 할 것이다. 즉, 경질크롬 도금 대신 무전해 니켈 도금을 이용하거나 stainless steel을 사용하는 대신 mild steel에 무전해 니켈 도금을 하여 사용하는 경우 상당히 경제적이다.

- 이 밖에 응용될 수 있는 몇가지 예를 보면
 - 알루미늄, 마그네슘 및 베릴륨의 soldering이나 철강재료를 brazing 할 때
 - 전해도금시 전해액에서 galvanic 작용을 방지하기 위해 도금할 때
 - 마모된 pump의 impeller에 다시 무전해 니켈 도금을 하는 경우와 금형등에 무전해 니켈도금

- 을 함으로서 경제적으로 이용될 수 있다.
- 알루미늄이나 구리에 무전해 니켈도금을 하여 열처리를 함으로서 자성을 갖게되므로 전자 및 통신기기에 이용할 수 있다.

Reference

- 1) G. Gutzeit; Plating, 46, 1158, 1275(1959)
- 1) J. P. Randin; H. E. Hintermann; Plating 54, 523, (1967)
- 3) 石橋, 手塙, 神原; 金屬表面技術, 13, 307 (1962)
- 4) A. W. Goldenstein, W. Rostoker, F. Schrosberger and G. Gutzeit; J. of Electrochem. Soc., 104, 104(1957)
- 5) V. P. Moiseev; Izv. Acad. Nauk. S. S. S. R., 26, 384(1962)
- 6) A. H. Graham, R. W. Lindsay and H. J. Read; J. of Electrochem. Soc., 112, 401(1965)
- 7) 浦井茂雄, 田辺良美; 金屬表面技術 18, 435(1967)
- 8) J. P. Randin, P. A. Maire, E. Sauver, H. E. Hintermann; J. of Electrochem. Soc., 114, 442(1967)
- 9) J. P. Randin, H. E. Hintermann; J. of Electrochem. Soc., 115, 480(1968)
- 10) 佐田進, 田畠高保, 麻川青; 工化誌, 71, [5], 626(1968)
- 11) 青木公二, 鹿野修, 石橋知, 林忠夫; 金屬表面技術, 28, 1, 13(1977)
- 12) K. T. Ziehlke, W. S. Pritt, C. H. Mahoney; Metal profress, 77, 84, Feb(1960)
- 13) 三谷裕康, 庄司啓一郎, 神戸徳蔵; 金屬表面技術, 17, 379(1966)
- 14) 田辺良美, 渡辺徹; 金屬表面技術, 21, 12, 665 (1970)
- 15) 田辺良美, 渡辺徹; 金屬表面技術, 23, 1, 39 (1972)
- 16) N. Hedgecock, P. Tung, and M. Schlesinger; J. of Electrochem. Soc. 122, 7, 867(1975)
- 17) 神戸徳蔵; 金屬表面技術; 20, 6, 279(1969)
- 18) 神戸徳蔵; " " ; 16, 106(1965)
- 19) 青木公二, 石橋知; 金屬表面技術, 20, 115, (3) (1969)

- 20) L. Domnikov; Metal Finishing, 60, 67, Nov.(1962)
- 21) H. Wiegand, G. Heidke, & K. Schwitzgebel; Metallocerflaeche, 22, 304 (1968)
- 22) M. G. Lozinskiy, G. G. Zusmanovich; V. S. Mirovorskij; Metal Sci, Heat Treat. Metals (7-8), 363-364 (1961)
- 23) F. Spencer; Metal Finishing; 12, 58 (1974)
- 24) C. Baldwin, T. E. Such Trans Inst Metal Fin., 46, 73 (1968)
- 25) G. Gutzeit; Trans Inst Metal fnsih., 33, 383 (1956)
- 26) G. Gutzeit, E. T. Mapp; Corrosion Techmology, 3, 68 (1956)
- 27) G. Fitzgerald-Lee; Product Finishing (London) 13, 68 (May 1960)
- 28) H. J. Read, T. J. Whalen; Proc Amer Electr- opl Soc, 46, 318 (1959)
- 29) K. Parker; Plating, 61, 834 (1974)
- 30) G. Gavrillov, E. Owtcharova; Galvanotechnik, 64, 23 (1973)
- 31) G. Gavrillov, E. Owtcharova; Metallocerfl., Angewandte, Electrochemie, 27, 41 (1973)
- 32) G. Gavrillov; Galvanotechnik, 65, 858 (1974)
- 33) 木間英夫, 三井秀雄, 水島信也; 金属表面 技術, 28, 539 (1977)
- 34) J. W. Dini, P. R. Coronado; Plating, 54, 385 (1967)
- 35) K. Parker, H. Shah; J. Electrochim. Soc., 117, 1091 (1970)
- 36) R. M. Shemenski, J. G. Beach, R. E. Maringer; J. Electrodem Soc., 116, 402 (1969)
- 37) N. Spahn; Trans. Inst Metal. Fin., 42, 364 (1964)
- 38) K. Parker, H. Shah; Plating, 58, 230 (1971)
- 39) V. V. Dvysyankin, V. N. Novikov, A. V. Ryabchenkov; Prtection Metel, 3, 496 (1967)
- 40) B. C. Bartlett, L. Cann, J. L. Hayward; Plating, 56, 168 (1961)
- 41) Hitachi Limited, Japan Kokai 7,509, 536 Jan (1975)
- 42) CiH. De Minjer, A. Brenner; Plating, 44, 1294 (1957)
- 43) W. H. Metzger; A. S. T. M. Special Technical Publication 1959, No. 265, 13
- 44) 清水泰, 石橋知; 金属表面技術, 19, 419 (1968)
- 45) P. Cavalotti, G. Salvago; Electrochenica Metallorum, 3, 23 (1968)
- 46) A. Bunekas; Zashchita Metallov (Protection of Metals), 4, 338 (1968)

* 질 의 응답 *

■ 주전부-금에 30A/dm²으로 1분간 양극처리 후 30A/dm²으로 정밀-금도금을 하고 있으나 퍼복력이 나빠 곤대를 하고 있다. 어떻게 하면 것 이 좋은가?

■ 일부 적으로 주철은 양극처리를 하면 노출의 퍼복력이 매우 나빠진다. 아래는 선수 있던 때로 양극처리 시간을 짧게 하는 것이 필요하다. 그러나 주철의 재질에 따라 치적의 처리시간이 크게 달라진으로 사용하는 재질에 상당히 가장 짧은데 정시간을 정확하게 알아두는 것이 중요하다. 또한 예상의 관계상태가 욕구에 따라 상당히 영향을 받으므로 도금조건에 관해서는 전유밀도만 확

한하지 말고 욕구의 관리를 엄밀히 해야 한다. 한편 애칭시간을 너무 짧게하면 밀착불량이 생기기 쉬우므로 이를 방지하기 위해서는 하지에 액체호오닝, 샌드블라스트 등을 시행하여 요철을 낸 다음 주로로써 기계적인 부착력을 크게하는 것도 하나의 방법이다.

도금의 퍼복력을 종종 함에는 도금초기에 커나란 스트라이크 전류를 걸어주는 방법이 일반적으로 시행되고 있는데 특히 주철이나 구리합금과 같은 퍼복력이 나쁜 재질에 도금할때는 정상전류의 2배이상의 스트라이크도 가끔 쓰여지고 있다.